

Starkniederschlagshöhen und -spenden gemäß KOSTRA-DWD-2020

Rasterfeld 141161

(Zeile 141, Spalte 161)

Regenspende und Bemessungsniederschlagswerte in Abhängigkeit von Wiederkehrzeit T und Dauerstufe D

| Dauerstufe D | | Wiederkehrzeit T | | | | | | | | | | | | | | | | | |
|--------------|-----|------------------|------------|------|------------|------|------------|------|------------|------|------------|-------|------------|-------|------------|-------|------------|-------|------------|
| | | 1 a | | 2 a | | 3 a | | 5 a | | 10 a | | 20 a | | 30 a | | 50 a | | 100 a | |
| min | Std | mm | l / (s ha) | mm | l / (s ha) | mm | l / (s ha) | mm | l / (s ha) | mm | l / (s ha) | mm | l / (s ha) | mm | l / (s ha) | mm | l / (s ha) | mm | l / (s ha) |
| 5 | | 7,7 | 256,7 | 9,6 | 320,0 | 10,7 | 356,7 | 12,3 | 410,0 | 14,5 | 483,3 | 16,9 | 563,3 | 18,4 | 613,3 | 20,3 | 676,7 | 23,2 | 773,3 |
| 10 | | 9,9 | 165,0 | 12,4 | 206,7 | 13,9 | 231,7 | 15,9 | 265,0 | 18,8 | 313,3 | 21,8 | 363,3 | 23,7 | 395,0 | 26,3 | 438,3 | 30,0 | 500,0 |
| 15 | | 11,2 | 124,4 | 14,0 | 155,6 | 15,7 | 174,4 | 18,0 | 200,0 | 21,3 | 236,7 | 24,7 | 274,4 | 26,9 | 298,9 | 29,8 | 331,1 | 34,0 | 377,8 |
| 20 | | 12,1 | 100,8 | 15,2 | 126,7 | 17,1 | 142,5 | 19,5 | 162,5 | 23,1 | 192,5 | 26,7 | 222,5 | 29,1 | 242,5 | 32,3 | 269,2 | 36,8 | 306,7 |
| 30 | | 13,5 | 75,0 | 16,9 | 93,9 | 18,9 | 105,0 | 21,7 | 120,6 | 25,6 | 142,2 | 29,7 | 165,0 | 32,4 | 180,0 | 35,9 | 199,4 | 40,9 | 227,2 |
| 45 | | 14,9 | 55,2 | 18,6 | 68,9 | 20,9 | 77,4 | 23,9 | 88,5 | 28,3 | 104,8 | 32,8 | 121,5 | 35,7 | 132,2 | 39,5 | 146,3 | 45,1 | 167,0 |
| 60 | 1 | 15,9 | 44,2 | 19,9 | 55,3 | 22,3 | 61,9 | 25,5 | 70,8 | 30,2 | 83,9 | 35,0 | 97,2 | 38,1 | 105,8 | 42,2 | 117,2 | 48,1 | 133,6 |
| 90 | 1,5 | 17,4 | 32,2 | 21,7 | 40,2 | 24,4 | 45,2 | 27,9 | 51,7 | 33,0 | 61,1 | 38,3 | 70,9 | 41,7 | 77,2 | 46,2 | 85,6 | 52,7 | 97,6 |
| 120 | 2 | 18,5 | 25,7 | 23,1 | 32,1 | 26,0 | 36,1 | 29,7 | 41,3 | 35,2 | 48,9 | 40,7 | 56,5 | 44,4 | 61,7 | 49,2 | 68,3 | 56,1 | 77,9 |
| 180 | 3 | 20,2 | 18,7 | 25,2 | 23,3 | 28,3 | 26,2 | 32,4 | 30,0 | 38,3 | 35,5 | 44,4 | 41,1 | 48,4 | 44,8 | 53,6 | 49,6 | 61,1 | 56,6 |
| 240 | 4 | 21,4 | 14,9 | 26,8 | 18,6 | 30,1 | 20,9 | 34,4 | 23,9 | 40,7 | 28,3 | 47,2 | 32,8 | 51,4 | 35,7 | 56,9 | 39,5 | 64,9 | 45,1 |
| 360 | 6 | 23,3 | 10,8 | 29,1 | 13,5 | 32,7 | 15,1 | 37,4 | 17,3 | 44,3 | 20,5 | 51,3 | 23,8 | 55,9 | 25,9 | 61,9 | 28,7 | 70,6 | 32,7 |
| 540 | 9 | 25,3 | 7,8 | 31,6 | 9,8 | 35,5 | 11,0 | 40,7 | 12,6 | 48,1 | 14,8 | 55,7 | 17,2 | 60,8 | 18,8 | 67,3 | 20,8 | 76,7 | 23,7 |
| 720 | 12 | 26,8 | 6,2 | 33,5 | 7,8 | 37,7 | 8,7 | 43,2 | 10,0 | 51,0 | 11,8 | 59,1 | 13,7 | 64,4 | 14,9 | 71,4 | 16,5 | 81,4 | 18,8 |
| 1080 | 18 | 29,2 | 4,5 | 36,4 | 5,6 | 41,0 | 6,3 | 46,9 | 7,2 | 55,4 | 8,5 | 64,2 | 9,9 | 70,0 | 10,8 | 77,5 | 12,0 | 88,4 | 13,6 |
| 1440 | 24 | 30,9 | 3,6 | 38,6 | 4,5 | 43,4 | 5,0 | 49,7 | 5,8 | 58,8 | 6,8 | 68,1 | 7,9 | 74,2 | 8,6 | 82,2 | 9,5 | 93,7 | 10,8 |
| 2880 | 48 | 35,6 | 2,1 | 44,5 | 2,6 | 50,0 | 2,9 | 57,2 | 3,3 | 67,6 | 3,9 | 78,4 | 4,5 | 85,4 | 4,9 | 94,6 | 5,5 | 107,8 | 6,2 |
| 4320 | 72 | 38,6 | 1,5 | 48,3 | 1,9 | 54,3 | 2,1 | 62,1 | 2,4 | 73,4 | 2,8 | 85,1 | 3,3 | 92,7 | 3,6 | 102,7 | 4,0 | 117,1 | 4,5 |
| 5760 | 96 | 40,9 | 1,2 | 51,2 | 1,5 | 57,5 | 1,7 | 65,8 | 1,9 | 77,8 | 2,3 | 90,2 | 2,6 | 98,3 | 2,8 | 108,9 | 3,2 | 124,1 | 3,6 |
| 7200 | 120 | 42,8 | 1,0 | 53,5 | 1,2 | 60,2 | 1,4 | 68,9 | 1,6 | 81,4 | 1,9 | 94,3 | 2,2 | 102,8 | 2,4 | 113,9 | 2,6 | 129,8 | 3,0 |
| 8640 | 144 | 44,4 | 0,9 | 55,5 | 1,1 | 62,4 | 1,2 | 71,5 | 1,4 | 84,5 | 1,6 | 97,9 | 1,9 | 106,7 | 2,1 | 118,2 | 2,3 | 134,7 | 2,6 |
| 10080 | 168 | 45,8 | 0,8 | 57,3 | 0,9 | 64,4 | 1,1 | 73,7 | 1,2 | 87,1 | 1,4 | 101,0 | 1,7 | 110,1 | 1,8 | 121,9 | 2,0 | 139,0 | 2,3 |

Starkniederschlagshöhen und -spenden gemäß KOSTRA-DWD-2020

Rasterfeld 141161

(Zeile 141, Spalte 161)

Örtliche Unsicherheiten in Abhängigkeit von Wiederkehrzeit T und Dauerstufe D

| Dauerstufe D | | Wiederkehrzeit T | | | | | | | | |
|--------------|-----|------------------|-----|-----|-----|------|------|------|------|-------|
| | | 1 a | 2 a | 3 a | 5 a | 10 a | 20 a | 30 a | 50 a | 100 a |
| min | Std | ± % | ± % | ± % | ± % | ± % | ± % | ± % | ± % | ± % |
| 5 | | 11 | 11 | 11 | 11 | 11 | 11 | 12 | 12 | 12 |
| 10 | | 11 | 12 | 13 | 14 | 15 | 15 | 16 | 16 | 17 |
| 15 | | 13 | 15 | 16 | 17 | 18 | 19 | 19 | 20 | 20 |
| 20 | | 15 | 17 | 18 | 19 | 20 | 21 | 21 | 21 | 22 |
| 30 | | 16 | 19 | 20 | 21 | 22 | 23 | 23 | 24 | 24 |
| 45 | | 18 | 20 | 21 | 22 | 23 | 24 | 24 | 25 | 26 |
| 60 | 1 | 18 | 20 | 21 | 23 | 24 | 25 | 25 | 25 | 26 |
| 90 | 1,5 | 18 | 21 | 22 | 23 | 24 | 25 | 25 | 26 | 26 |
| 120 | 2 | 18 | 20 | 21 | 22 | 24 | 25 | 25 | 25 | 26 |
| 180 | 3 | 17 | 20 | 21 | 22 | 23 | 24 | 24 | 25 | 26 |
| 240 | 4 | 17 | 19 | 20 | 21 | 23 | 23 | 24 | 24 | 25 |
| 360 | 6 | 16 | 18 | 19 | 21 | 22 | 23 | 23 | 24 | 24 |
| 540 | 9 | 15 | 18 | 19 | 20 | 21 | 22 | 22 | 23 | 23 |
| 720 | 12 | 15 | 17 | 18 | 19 | 20 | 21 | 21 | 22 | 23 |
| 1080 | 18 | 14 | 16 | 17 | 18 | 19 | 20 | 20 | 21 | 22 |
| 1440 | 24 | 14 | 16 | 17 | 18 | 19 | 19 | 20 | 20 | 21 |
| 2880 | 48 | 13 | 14 | 15 | 16 | 17 | 18 | 18 | 19 | 19 |
| 4320 | 72 | 12 | 14 | 15 | 16 | 17 | 17 | 18 | 18 | 19 |
| 5760 | 96 | 12 | 14 | 14 | 15 | 16 | 17 | 17 | 18 | 18 |
| 7200 | 120 | 12 | 14 | 14 | 15 | 16 | 17 | 17 | 17 | 18 |
| 8640 | 144 | 13 | 14 | 14 | 15 | 16 | 16 | 17 | 17 | 18 |
| 10080 | 168 | 13 | 14 | 14 | 15 | 16 | 16 | 17 | 17 | 17 |

Parameter für abweichende T und D

Lokationsparameter ξ (Xi)

16,2891555

Skalenparameter α (Alpha)

5,6572916

Formparameter κ (Kappa)

-0,1

1. Koutsoyiannis-Parameter θ (Theta)

0,03103734

2. Koutsoyiannis-Parameter η (Eta)

0,7978752

Parameter für dauerstufenübergreifende Extremwertschätzung nach KOUTSOYIANNIS et al. 1998.

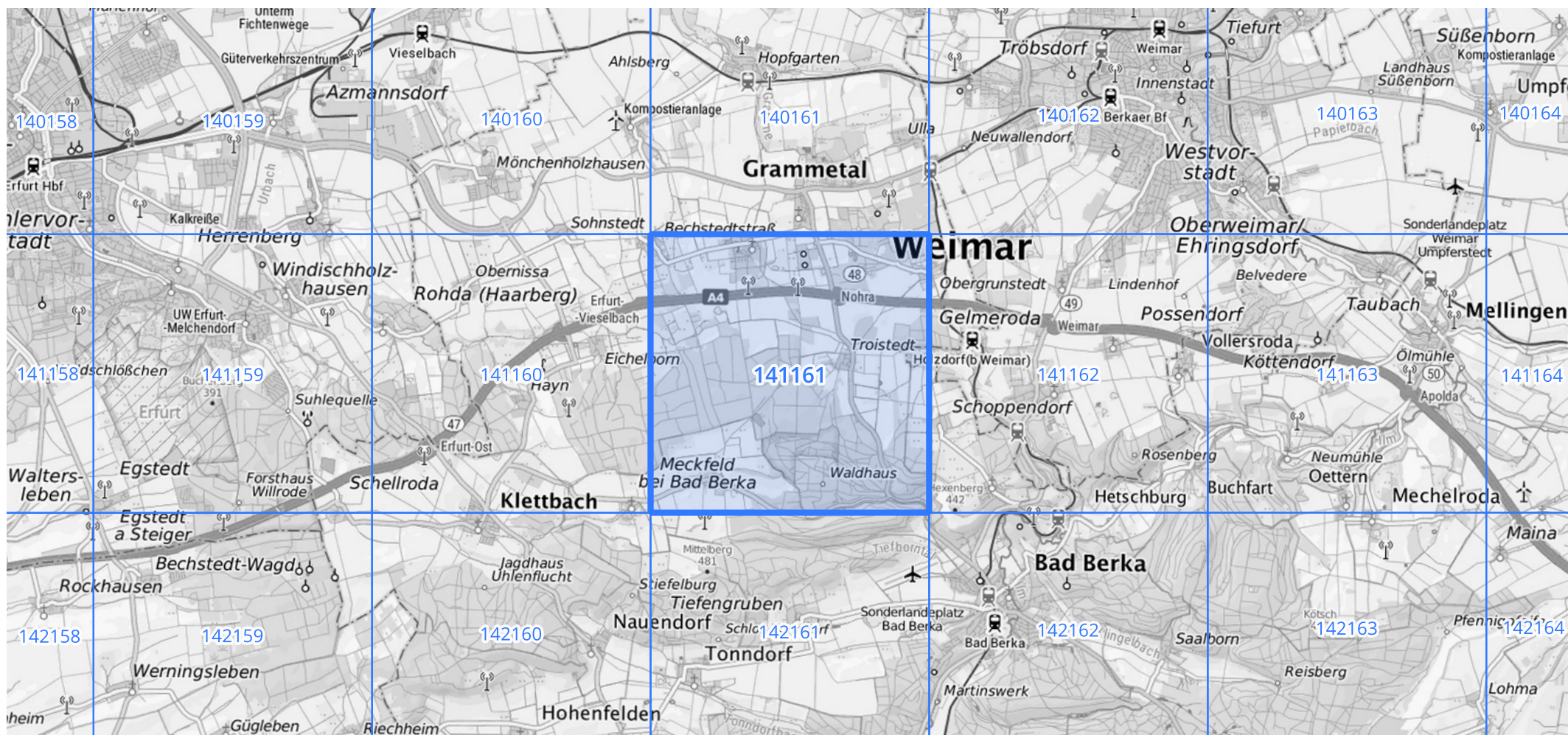
Siehe auch Anwendungshilfe zu KOSTRA-DWD-2020 des Deutschen Wetterdienstes.

Starkniederschlagshöhen und -spenden gemäß KOSTRA-DWD-2020

Rasterfeld 141161

(Zeile 141, Spalte 161)

Übersichtskarte des Rasterfeldes 141161, M 1 : 100 000



Quelle Rasterdaten: KOSTRA-DWD-2020 des Deutschen Wetterdienstes, Stand 12/2022.

Seite 3 von 3

Kartendarstellung: © Bundesamt für Kartographie und Geodäsie (2023), Datenquellen: https://sgx.geodatenzentrum.de/web_public/gdz/datenquellen/Datenquellen_TopPlusOpen.html

Für die Richtigkeit und Aktualität der Angaben wird keine Gewähr übernommen. Erstellt 01/2023.